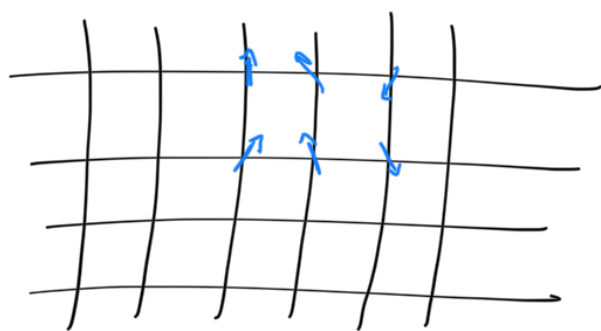


Catene/reticoli di spin quantistici

Su ogni sito immagino di avere uno spin quantistico

es. $s = 1/2$

$$H_{\text{local}} = \text{span}\{|\uparrow\rangle, |\downarrow\rangle\}$$

$$|\gamma\rangle_i = \alpha|\uparrow\rangle_i + \beta|\downarrow\rangle_i$$

qubit (quantum bit)

$$|\uparrow\rangle \equiv |0\rangle$$

$$|\downarrow\rangle \equiv |1\rangle$$

sullo stesso sito

$$[\hat{\sigma}_i^\alpha, \hat{\sigma}_i^\beta] = 2i\epsilon_{\alpha\beta\gamma} \hat{\sigma}_i^\gamma$$

i : indice di sito

$\alpha = x, y, z$

su siti differenti $i \neq j$

$$[\hat{\sigma}_i^\alpha, \hat{\sigma}_j^\beta] = 0$$

- sistemi in 1D quantistici possono presentare caratteristiche peculiari (sono intersessanti) e si prestano meglio a trattamenti numerici di diagonalizzazione esatta
- 2D complicato sia numericamente che analiticamente
- 3D e oltre \rightarrow fisica studiabile con altre tecniche (per certi versi più banale)

es. Hubbard 1D è risolubile analiticamente (\rightarrow Bethe ansatz)
MA soluzione non è del tutto trasparente

- Hubbard 2D \rightarrow problema difficile da trattare (fisica dei superconduttori ad alta temperatura...)

①D Catene di spin / fermioni

Trasformazione di Jordan-Wigner

passare da fermioni a spin (e viceversa)

\downarrow
anticommutano

\downarrow
commutano

ipotesi:

fermionico	spin
$ 0\rangle \leftrightarrow$	$ \downarrow\rangle$
$ 1\rangle \leftrightarrow$	$ \uparrow\rangle$

(trascuriamo il grado di libertà dello spin nei fermioni)

→ fermioni "spinless"

$\hat{c}_i^\dagger, \hat{c}_i$ i : indice di sito

$\hat{c}_i \sim \hat{\sigma}_i^-$ intuitivamente dovei fare questo mapping

$$\begin{cases} \hat{c}_i |1\rangle_i = |0\rangle_i \\ \hat{c}_i |0\rangle_i = 0 \end{cases} \Rightarrow \text{posso associare } \hat{c}_i \text{ e } \hat{\sigma}_i^-$$

$$\hat{\sigma}_i^- |\uparrow\rangle_i = |\downarrow\rangle_i$$

$$\hat{\sigma}_i^- |\downarrow\rangle_i = 0$$

↑ operatore di abbassamento dello spin-1/2

$$\hat{\sigma}_i^- = \frac{1}{2}(\hat{\sigma}_i^x + i\hat{\sigma}_i^y)$$

$$|\downarrow\rangle = \begin{pmatrix} 1 \\ 0 \end{pmatrix} \Rightarrow \sigma^- = \begin{pmatrix} 0 & 1 \\ 0 & 0 \end{pmatrix}$$

$$|\uparrow\rangle = \begin{pmatrix} 0 \\ 1 \end{pmatrix}$$

analogamente $\hat{c}_i^\dagger \sim \hat{\sigma}_i^+$

$$\hat{c}_i^\dagger |0\rangle_i = |1\rangle_i$$

$$\hat{c}_i^\dagger |1\rangle_i = 0$$

$$\hat{\sigma}_i^+ |\downarrow\rangle_i = |\uparrow\rangle_i$$

$$\hat{\sigma}_i^+ |\uparrow\rangle_i = 0$$

operatore di innalzamento dello spin-1/2

$$\hat{\sigma}_i^+ = \frac{1}{2}(\hat{\sigma}_i^x - i\hat{\sigma}_i^y) = \begin{pmatrix} 0 & 0 \\ 1 & 0 \end{pmatrix}$$

→ se ho più di un sito, questa cosa **NON** va più bene! ($|1\rangle \equiv |1,0\rangle$)

$$\hat{c}_2^\dagger \hat{c}_1^\dagger |\Omega\rangle \neq \hat{c}_1^\dagger \hat{c}_2^\dagger |\Omega\rangle$$

$$\hat{c}_2^\dagger \hat{c}_1^\dagger |\Omega\rangle = |1,1\rangle$$

$$\hat{c}_2^\dagger \hat{c}_1^\dagger |\downarrow, \downarrow\rangle = \hat{c}_1^\dagger \hat{c}_2^\dagger |\downarrow, \downarrow\rangle = |\uparrow, \uparrow\rangle$$

$$\hat{c}_1^\dagger \hat{c}_1^\dagger |\Omega\rangle = \ominus |1,1\rangle$$

↑
differente

ricetta di
Jordan-Wigner
(*)

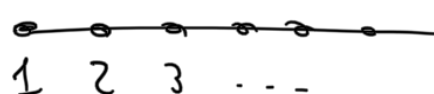
$$\begin{cases} \hat{c}_i = \left(\prod_{k < i} \hat{\sigma}_k^z \right) \hat{\sigma}_i^- \\ \hat{c}_i^\dagger = \hat{\sigma}_i^+ \left(\prod_{k < i} \hat{\sigma}_k^z \right) \end{cases}$$

operatore di "stringa" di Jordan-Wigner

$$\hat{n}_i = \hat{c}_i^\dagger \hat{c}_i \equiv \hat{\sigma}_i^+ \hat{\sigma}_i^-$$

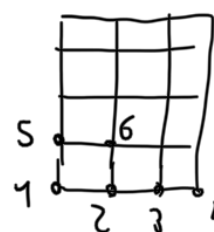
• presuppone un ordinamento tra i vari siti ($k < i$)

→ in 1D è naturale



→ in $D \geq 2$ è meno immediato

↑
qui la trsf. J-W è meno utile...



$$(*) \quad \begin{cases} \{c_i, c_j^\dagger\} = \delta_{ij} \\ \{c_i, c_j\} = \{c_i^\dagger, c_j^\dagger\} = 0 \end{cases} \Leftrightarrow [\sigma_i^x, \sigma_j^y] = 2i \epsilon_{\alpha\beta\gamma} \sigma_i^\gamma \delta_{ij}$$

si dimostra

$$\text{es: } \hat{c}_i^\dagger \hat{c}_{i+1} = \left[\hat{\sigma}_i^+ \left(\prod_{k=i}^{\infty} \hat{\sigma}_k^z \right) \right] \left[\left(\prod_{e=i+1}^{\infty} \hat{\sigma}_e^z \right) \hat{\sigma}_{i+1}^- \right] =$$

$$= \hat{\sigma}_i^+ (\hat{\sigma}_i^z \hat{\sigma}_{i+1}^z \dots \hat{\sigma}_{i+1}^z) (\hat{\sigma}_i^z \hat{\sigma}_{i+1}^z \dots \hat{\sigma}_{i+1}^z \hat{\sigma}_{i+1}^-) = \hat{\sigma}_i^+ \hat{\sigma}_i^z \hat{\sigma}_{i+1}^-$$

$$\hat{c}_{i+1} \hat{c}_i^\dagger = \hat{\sigma}_{i+1}^- \hat{\sigma}_i^z \hat{\sigma}_i^+ \text{ differiscono per un segno meno}$$

Nelle simulazioni numeriche conviene sempre implementare sistemi di spin (il problema degli anticommutatori fermionici si risolve con la trasformazione J-W)

Invece di Hubbard prendiamo un modello di fermioni SENZA spin (il grado di libertà di spin è "congelato")

$$\hat{H}_{t-V} = -t \sum_j (\hat{c}_j^\dagger \hat{c}_{j+1} + \hat{c}_{j+1}^\dagger \hat{c}_j) + V \sum_j \hat{n}_j \hat{n}_{j+1} \quad (t, V > 0)$$

Modello t-V in 1D

risolvibile analiticamente con Bethe ansatz

$$\hat{H}_{t-V} = -\frac{t}{2} \sum_j \underbrace{(\hat{\sigma}_j^x \hat{\sigma}_{j+1}^x + \hat{\sigma}_j^y \hat{\sigma}_{j+1}^y)}_{2 \cdot (\hat{\sigma}_j^+ \hat{\sigma}_{j+1}^- + \hat{\sigma}_j^- \hat{\sigma}_{j+1}^+)} + \underbrace{\frac{V}{4} \sum_j \hat{\sigma}_j^z \hat{\sigma}_{j+1}^z - \frac{V}{2} \sum_j \hat{\sigma}_j^z}_{\text{repulsione } \otimes} + \text{const.}$$

$$\hat{\sigma}_j^x \hat{\sigma}_{j+1}^x = \hat{\sigma}_j^x \otimes \hat{\sigma}_{j+1}^x = \begin{pmatrix} 0 & 1 \\ 1 & 0 \end{pmatrix}_j \otimes \begin{pmatrix} 0 & 1 \\ 1 & 0 \end{pmatrix}_{j+1}$$

Modello
XXZ
(+ campo magnetico lungo z)

$$\begin{pmatrix} 0 & 1 \\ 1 & 0 \end{pmatrix} \otimes \begin{pmatrix} 0 & 1 \\ 1 & 0 \end{pmatrix} + \begin{pmatrix} 0 & -i \\ i & 0 \end{pmatrix} \otimes \begin{pmatrix} 0 & -i \\ i & 0 \end{pmatrix} = \left[\begin{pmatrix} 0 & 0 \\ 1 & 0 \end{pmatrix} \otimes \begin{pmatrix} 0 & 1 \\ 0 & 0 \end{pmatrix} + \begin{pmatrix} 0 & 1 \\ 0 & 0 \end{pmatrix} \otimes \begin{pmatrix} 0 & 0 \\ 1 & 0 \end{pmatrix} \right] \cdot 2$$

$$\hat{n}_j \hat{n}_{j+1} = \underbrace{\hat{\sigma}_j^+ \hat{\sigma}_j^-}_{\downarrow \begin{pmatrix} 0 & 0 \\ 0 & 1 \end{pmatrix}} \hat{\sigma}_{j+1}^+ \hat{\sigma}_{j+1}^- = \frac{1}{4} (1 - \hat{\sigma}_j^z) (1 - \hat{\sigma}_{j+1}^z) = \frac{1}{4} + \frac{1}{4} \hat{\sigma}_j^z \hat{\sigma}_{j+1}^z - \frac{1}{4} (\hat{\sigma}_j^z + \hat{\sigma}_{j+1}^z)$$

$$\begin{pmatrix} 0 & 0 \\ 0 & 1 \end{pmatrix} = \frac{1}{2} (\mathbb{1} - \hat{\sigma}^z)$$

$$\text{Heisenberg (XXX)} \quad \hat{H}_{\text{XXX}} \sim J \sum_j (\hat{\sigma}_j^x \hat{\sigma}_{j+1}^x + \hat{\sigma}_j^y \hat{\sigma}_{j+1}^y + \hat{\sigma}_j^z \hat{\sigma}_{j+1}^z)$$

$$\underline{\text{XXZ}} \quad \hat{H}_{\text{XXZ}} \sim J_\perp \sum_j (\hat{\sigma}_j^x \hat{\sigma}_{j+1}^x + \hat{\sigma}_j^y \hat{\sigma}_{j+1}^y) + J_z \sum_j \hat{\sigma}_j^z \hat{\sigma}_{j+1}^z$$

- \Rightarrow nella JW/T di $\hat{C}_i^\dagger \hat{C}_{i+1} + \hat{C}_{i+1}^\dagger \hat{C}_i$ l'operatore \hat{G}_i^z nella stringa può essere riassorbito

$$\hat{C}_i^\dagger \hat{C}_{i+1} \equiv \hat{G}_i^+ \hat{G}_i^z \hat{G}_{i+1}^-$$

$$\hat{C}_{i+1}^\dagger \hat{C}_i \equiv \hat{G}_{i+1}^+ \hat{G}_i^z \hat{G}_i^-$$

\hat{G}_i^z agisce a destra sullo stato $|\downarrow\rangle$
in tutti e due i casi

- Il segno davanti a t nel modello t -V può essere scambiato facendo una trasformazione unitaria

$$\hat{U} = \prod_{j \text{ dispari}} \hat{R}_j(\hat{z}, \pi)$$

$$\begin{aligned} \underline{\underline{\hat{J}_z}} &\rightarrow \underline{\underline{\hat{J}_z}} \\ \underline{\underline{\hat{J}_\perp}} &\rightarrow \underline{\underline{-\hat{J}_\perp}} \end{aligned} \quad \left(\begin{array}{l} \hat{J}_x \rightarrow \hat{J}_x \\ \hat{J}_y \rightarrow -\hat{J}_y \end{array} \right)$$

$$\left(\hat{U} \hat{H}_{XXZ} \hat{U}^\dagger = \hat{H}_{XXZ} \right)$$